

Заломлення та відбиття світла на границі двох ізогotropних діелектриків. Формули Френеля

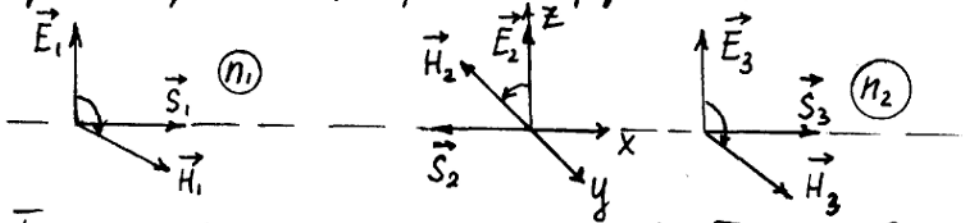
Коефіцієнт відбиття та коер. пропускання при нормальному падінні світла

$$R = \frac{J_{\text{відб}}}{J_{\text{пад}}} = \frac{(c/4\pi) \cdot \sqrt{\epsilon_2} \cdot E_0^2 \text{відб}}{(c/4\pi) \cdot \sqrt{\epsilon_1} \cdot E_0^2 \text{пад}} = \frac{E_0^2 \text{відб}}{E_0^2 \text{пад}}$$

$$T = \frac{J_{\text{прош}}}{J_{\text{пад}}} = \frac{(c/4\pi) \sqrt{\epsilon_2} \cdot E_0^2 \text{прош}}{(c/4\pi) \sqrt{\epsilon_1} \cdot E_0^2 \text{пад}} = \frac{n_2 \cdot E_0^2 \text{прош}}{n_1 \cdot E_0^2 \text{пад}}$$

Середовище без поглинання $\Rightarrow T + R = 1$

Для нормального падіння електромагн. хвилі (EMX) на границю двох непровідячих середовищ ($\sigma_1 = \sigma_2 = 0$):



I серед.: $\epsilon_1, \mu_1 = 1,$
 $n_1 = \frac{c}{\sqrt{\epsilon_1}}$

II серед.: $\epsilon_2,$
 $\mu_2 = 1; n_2 = \frac{c}{\sqrt{\epsilon_2}}$

В I серед. розповсюджуються 2 хвилі (пад. та відб.),

в II серед. - хвиля, що пройшла. Будемо вважати

(поки що!) : $\omega_1 \neq \omega_2 \neq \omega_3$. Хвиля - плоска:

пад. $E_1 = E_{01} e^{i\omega_1(t - x/u_1)}$

відб $E_2 = E_{02} e^{i\omega_2(t - x/u_1)}$

прош. $E_3 = E_{03} e^{i\omega_3(t - x/u_2)}$

$$\left. \begin{aligned} H_1 &= \sqrt{\epsilon_1} E_1 \\ H_2 &= \sqrt{\epsilon_1} E_2 \\ H_3 &= \sqrt{\epsilon_2} E_3 \end{aligned} \right\} (1)$$

вектори $\vec{E}, \vec{H}, \vec{S}$ в усіх 3-х хвилях строго орієнтовані за правилом правого гвинта

Для збереження правила правого гвинта ми обрали \vec{H}_1 та \vec{H}_2 . З тим же успіхом можна було б приписати знак "-" вектору \vec{E}_2 , але тоді б вектор \vec{H}_2 був би додатнім

Традиційні умови збереження t_0 -іальних складових векторів \vec{E} та \vec{H} на границі розділу ($x=0$):

$$E_1 + E_2 = E_3 \quad H_1 - H_2 = H_3 \quad (2)$$

$$E_{01} e^{i\omega_1 t} + E_{02} e^{i\omega_2 t} = E_{03} e^{i\omega_3 t} \quad (3)$$

При довільному t тотожність (3) може мати місце лише, якщо $\omega_1 = \omega_2 = \omega_3 = \omega$. Це так, крім випадку гучже потужної ЕМХ ("малік. оптика").

$$3(1), (2), (3) \Rightarrow E_{01} + E_{02} = E_{03}; H_{01} - H_{02} = H_{03}$$

$$H_{01} = \sqrt{\epsilon_1} \cdot E_{01}; \quad H_{02} = \sqrt{\epsilon_1} \cdot E_{02}; \quad H_{03} = \sqrt{\epsilon_2} \cdot E_{03} \quad (4)$$

$$3(4) \Rightarrow \begin{cases} E_{01} + E_{02} = E_{03} \\ \sqrt{\epsilon_1} \cdot E_{01} - \sqrt{\epsilon_1} \cdot E_{02} = \sqrt{\epsilon_2} \cdot E_{03} \end{cases} \quad (5)$$

$$E_{01} - E_{02} = \frac{\sqrt{\epsilon_2}}{\sqrt{\epsilon_1}} \cdot E_{03} \equiv \frac{n_2}{n_1} \cdot E_{03}$$

$$2E_{01} = E_{03} \left(1 + \frac{n_2}{n_1} \right);$$

$$E_{03} = \frac{2n_1}{n_1 + n_2} \cdot E_{01} \quad (6)$$

(6) \rightarrow 6 рівн. системи (5):

$$E_{01} + E_{02} = \frac{2n_1}{n_1 + n_2} E_{01} \Rightarrow E_{01} \frac{n_1 - n_2}{n_1 + n_2} = E_{02} \quad (7)$$

Аналіз (7): 1) При $n_1 < n_2$ $E_{01} = -E_{02} \dots$, тобто відбувається втрата напівхвилі, або зсув фази відбитої хвилі на π . Вектори \vec{H}_1 та \vec{H}_2 коливаються при цьому синфазно.

2) При $n_1 > n_2$ знаки E_{01} та E_{02} співпадають. На границі двох діелектриків вектори \vec{E}_1 та \vec{E}_2 коливаються синфазно, а фази \vec{H}_1 та \vec{H}_2 відрізняються на π .

3) Для хвилі, що пройшла, амплітуда \vec{E}_{03} завжди співпадає по знаку з ампл. \vec{E}_{01} . Тобто вектори \vec{E}_{03} завжди софазні вектору \vec{E}_{01} . Те ж стосується і H_{03} та H_{01} .

Введемо еферг. коеф. відбиття (R) і коеф. пропускання (T):

$$R = \frac{\text{сер. потік ен. відб. хв.}}{\text{сер. потік ен. пад. хв.}} = \frac{\langle \frac{c}{4\pi} E_2 H_2 \rangle}{\langle \frac{c}{4\pi} E_1 H_1 \rangle} = \frac{Y_{\text{відб.}}}{Y_{\text{пад.}}}$$

$$T = \frac{\text{середн. потік ен. прох. хв.}}{\text{середн. потік ен. пад. хв.}} = \frac{\langle \frac{4\pi}{c} E_3 \cdot H_3 \rangle}{\langle \frac{4\pi}{c} E_1 \cdot H_1 \rangle} = \frac{Y_{\text{прох.}}}{Y_{\text{пад.}}}$$

Використовуючи (6) та (7):

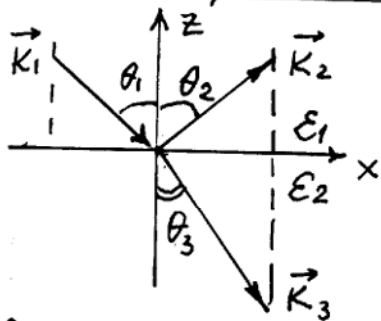
$$R = \frac{E_{02}^2}{E_{01}^2} = \left(\frac{n_1 - n_2}{n_1 + n_2} \right)^2$$

$$T = \frac{n_2}{n_1} \cdot \frac{E_{03}^2}{E_{01}^2} = \frac{4n_1 \cdot n_2}{(n_1 + n_2)^2}$$

для нормального падіння світла на межі двох діелектриків

Можна перевірити, що $R + T = 1$

Закон відбиття та закон заломлення (доведення)



$$\text{пад. } \vec{E}_1 = \vec{E}_{01} \exp i(\omega t - \vec{k}_1 \cdot \vec{r})$$

$$\text{відб. } \vec{E}_2 = \vec{E}_{02} \exp i(\omega t - \vec{k}_2 \cdot \vec{r})$$

$$\text{зал. } \vec{E}_3 = \vec{E}_{03} \exp i(\omega t - \vec{k}_3 \cdot \vec{r})$$

Граничні умови: $E_{1t} + E_{2t} = E_{3t}$

в площині розділу двох середовищ \Rightarrow

$$\vec{E}_{01t} \exp i(\omega t - k_1 z) + \vec{E}_{02t} \exp i(\omega t - k_2 z) = \vec{E}_{03t} \cdot \exp i(\omega t - k_3 z)$$

(1)

де $\vec{E}_0 e^{i(\omega t - \vec{k} \cdot \vec{r})}$ - тг-складові (пост. величини) 4
 Умова (1) повинна виконуватись в будь-який мо-
 мент часу t та для всіх тогач \vec{r} , які лежать на
 межі розділу. Звідси витікає, що

$$(2) \begin{cases} \omega t - \vec{k}_1 \cdot \vec{r} = \omega t - \vec{k}_2 \cdot \vec{r} = \omega t - \vec{k}_3 \cdot \vec{r}, \text{ а також} \\ \vec{k}_1 \cdot \vec{r} = \vec{k}_2 \cdot \vec{r} = \vec{k}_3 \cdot \vec{r} \text{ або в декарт. СК} \end{cases}$$

$$(3) \begin{aligned} k_{1x} \cdot x + k_{1y} \cdot y + k_{1z} \cdot z &= k_{2x} \cdot x + k_{2y} \cdot y + k_{2z} \cdot z = \\ (k_{1x} = \vec{k}_x \cdot \vec{i}) &= k_{3x} \cdot x + k_{3y} \cdot y + k_{3z} \cdot z \end{aligned}$$

1) Остання умова повинна виконуватись для будь-
 яких x та y

2) $z=0$ (на межі розділу)

Тому: Для $x=0$ $k_{1y} = k_{2y} = k_{3y}$ (4)

Висновки: Для $y=0$ $k_{1x} = k_{2x} = k_{3x}$ (5)

1. Уз (4) та (5) \Rightarrow хвильові вектори відбитої та за-
 ломеної хвилі \vec{k}_2 та \vec{k}_3 лежать в площині
 падіння (в пл., в якій лежать \vec{k}_1 та \vec{n}).

Таким чином: всі 4 вектори: \vec{n} , \vec{k}_1 , \vec{k}_2 , \vec{k}_3
 лежать в одній площині (копланарні).

2. Направили вісь x вздовж границі розділу так,
 щоб пл. xz співпадала із пл. падіння. Тоді

$$k_{1y} = k_{2y} = k_{3y} = 0; \quad k_{1x} = k_{2x} = k_{3x}, \quad (6)$$

де $k_{1x} = k_1 \cdot \sin \theta_1$; $k_{2x} = k_2 \sin \theta_2$; $k_{3x} = k_3 \sin \theta_3$ (7)

$$k_1 = \frac{\omega}{c} n_1 \quad k_2 = \frac{\omega}{c} n_2 \quad k_3 = \frac{\omega}{c} \cdot n_3 \quad (8)$$

$$n_1 = \sqrt{\epsilon_1}; \quad n_2 = \sqrt{\epsilon_2}. \quad \text{Уз (6), (7)} \Rightarrow \boxed{\theta_1 = \theta_2} \quad (9)$$

Закон відбиття

3. Якщо обидва середовища прозорі, то n_1, n_2 - ϵ_a дійсні.

$$(7), (8) \rightarrow (6) : \frac{c}{v} n_1 \sin \theta_1 = \frac{c}{v} n_2 \sin \theta_2$$

закон Снелліуса

Повне внутрішнє відбиття

$$n_1 > n_2 !$$

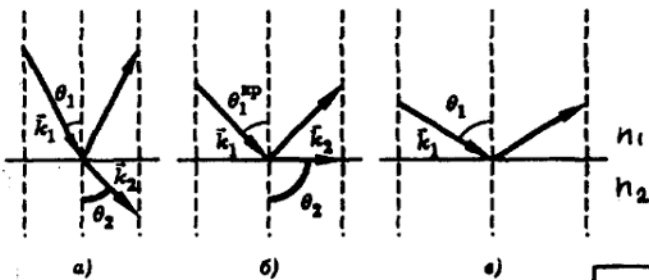
$$\theta_2 > \theta_1 - \text{це випи-}$$

кає із закону Снелліуса

$$n_1 \sin \theta_1 = n_2 \sin \theta_2$$

Якщо $\theta_2 = 90^\circ$

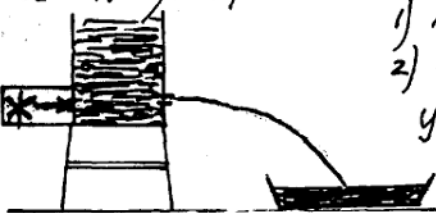
$$(\sin \theta_2 = 1), \text{ то}$$



При $\theta_1 = \theta_1^{кр}$ заломлений промінь не заходить в II середовище, а розповсюджується вздовж границі розділу (рис. 5).

Ефект повного внутрішнього відбиття, $\theta_1^{кр}$ - критичний кут ПВВ. На границі скло-повітря ($n_1 = 1.5$;

$n_2 = 1.0$) $\theta_1^{кр} \approx 42^\circ$.



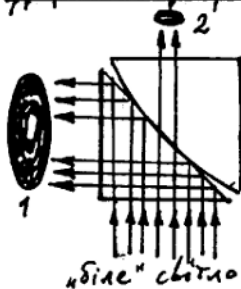
- 1) Демонстрація прояву ПВВ (див. рис.).
- 2) Оптичне волокно.

Увага!: Промінь скочає вздовж межі розділу лише при $\theta_1 = \theta_1^{кр}$ (рис. 5). При

$\theta_1 > \theta_1^{кр}$ є тільки 2 промені: заломлений та відбитий (рис. 6)

- 3) Ефектом ПВВ пояснюється відбиття радіохвиль від іоносфери. На висоті 100-300 км існує іонізований шар атмосфери, від якого відбивається ЕМХ з $\lambda > 10$ м. Більш короткі хвилі проходять. В іоносфері $v_f > c$. Із збільшенням висоти зменшується пок. зал. н. Далеко радіокомунікація.

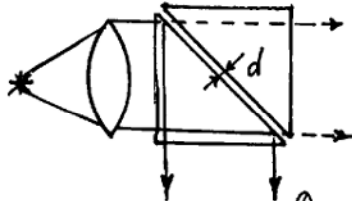
Ефект порушення ПВВ при $\theta > \theta_{кр}$.
(Ефект проширення, "просогування" світла в
друге середовище при ПВВ)



Експеримент N1:

В одній із кутів призми зрізаються (зточуються, зішліфовуються) кути.

1- має синій колір, 2- червоний.
 "Просогується" світло із великою λ .



Експеримент N2:

При зазорах між поверхнями призми $d \lesssim \lambda$ світло "просогується".

Можна використати для модуляції.

Для проміжку "повітря-скло" $\theta_{кр} \approx 42^\circ$ світла

$$\frac{\sin \theta_1}{\sin \theta_2} = n_{21} \Rightarrow \sin \theta_2 = \frac{\sin \theta_1}{n_{21}} \quad n_{21} < 1.$$

Це означає, що при $\theta_1 \uparrow$ косинус $\sin \theta_2$ стане > 1 !?!

$$\begin{aligned} \cos \theta_2 &= \sqrt{1 - \sin^2 \theta_2} = \pm \sqrt{1 - \frac{\sin^2 \theta_1}{n_{21}^2}} = \pm \sqrt{-1 \cdot \frac{\sin^2 \theta_1}{n_{21}^2} - 1} = \\ &= \pm j \sqrt{\frac{\sin^2 \theta_1}{n_{21}^2} - 1} \quad k_z = k \cdot \cos \theta_2 \end{aligned}$$

Хвиля, що "просогується", описується виразом:

$$\begin{aligned} D &= D_0 \exp\left(\frac{\pm j k \cos \theta_2}{z}\right) \cdot \exp j(\omega t - k_x \cdot x) = \\ &= D_0 e^{\underbrace{\frac{\pm j k z \sqrt{\frac{\sin^2 \theta_1}{n_{21}^2} - 1}}{n_{21}^2}}_{\text{амплітуда}}} \cdot e^{j(\omega t - k_x \cdot x)} \end{aligned}$$

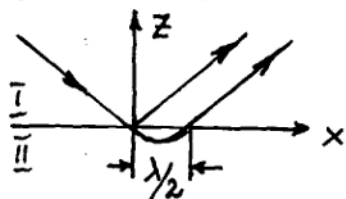
Амплітуда.

Хвиля з такою амплітудою неоднорідна. Знак "+" не має фіз. сенсу, бо означає нескінченне збільшення амплітуди хвилі в II середовищі. Знак "-" відповідає хвилі, яка швидко затухає по мірі проширення в II середовищі.

Практично ця неоднорідна хвиля існує лише в
в приповерхневому шарі II середовища, товщина
якого $\sim \lambda$.

Частина енергії, яка попадає
в II середовище, потім з неї
виходить.

Оцінимо глибину проникнення:



$$k \cdot z \sqrt{\frac{\sin^2 \theta_1}{n_{21}^2} - 1} = 1 \quad \text{— умова зменшення ампл. в } e \text{ раз.}$$

З врахуванням того,
що $k = 2\pi/\lambda$

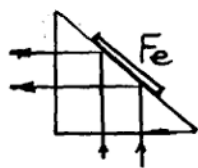
$$z = \frac{\lambda}{2\pi \sqrt{\frac{\sin^2 \theta_1}{n_{21}^2} - 1}}$$

Коли $\lambda \uparrow$, величина $z \uparrow$.

Коли $\sin \theta_1 = n_{21}$ — неробота обл.

Хвиля біжить вздовж x , амплітуда зменшується
Базуючись на ефекті порушення вздовж z

ПВВ, можна навіть вимірювати спектри матеріалів



$$n_{21} = n_{21}(\lambda).$$

На порушенні ПВВ базується ближньопольова
оптика (див. останню лекцію курсу).

Формули Френеля

Яка доля падаючого на границю двох діелектриків світла відбивається? Закоплюється? Чи залежить вона від величини кута падіння і поляризації падаючого світла?

Відповідь дають формули Френеля.

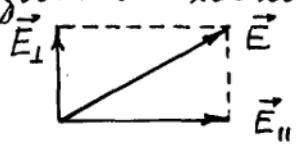
Розрахунок формул Френеля базується на:

- 1) врахуванні граничних умов;
- 2) зв'язку між полями \vec{E} та \vec{H} в світловій хвилі, який витікає із рівнянь Максвелла.

Хвилі - плоскі і монохроматичні.

Середовища - лінійні, ізотропні і х-уються ϵ_1, ϵ_2 .

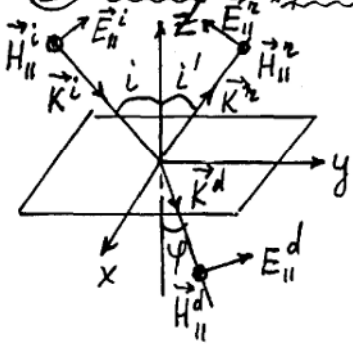
Хвилю з довільним станом поляризації можна представити у вигляді суперпозиції двох лінійно поляризованих хвиль $\vec{E} = \vec{E}_\perp + \vec{E}_\parallel$



Позначення: E_\parallel , або E_p - в площ. парал. до напрямку падіння
 E_\perp , або E_s - в напрямку \perp площ. падіння

Розглянемо окремо випадки: "p" (або \parallel) компоненти та "s" (або \perp) компоненти.

I випадає "p" компоненти (вектор \vec{E} в площ. падіння).



Умова збереження тангенса складових ел.м. хвилі на границі коділу (граничні умови):

$$\begin{cases} \vec{H}_\parallel^i + \vec{H}_\parallel^r = \vec{H}_\parallel^d & (1) \\ \vec{E}_\parallel^i - \vec{E}_\parallel^r = \vec{E}_\parallel^d & (2) \end{cases}$$

для амплітуд для $z=0$

Раніше було встановлено зв'язок між \vec{E} та \vec{H} ; 7

$$H_{\parallel}^i = n_1 E_{\parallel}^i; \quad H_{\parallel}^r = n_1 E_{\parallel}^r; \quad H_{\parallel}^d = n_2 E_{\parallel}^d \quad (3)$$

$$(3) \rightarrow (1): n_1 E_{\parallel}^i + n_1 E_{\parallel}^r = n_2 E_{\parallel}^d$$

$$E_{\parallel}^i + E_{\parallel}^r = \frac{n_2}{n_1} E_{\parallel}^d = \frac{\sin i}{\sin \varphi} E_{\parallel}^d \quad (4)$$

$$3(2) \Rightarrow E_{\parallel}^i \cos i - E_{\parallel}^r \cos i' = E_{\parallel}^d \cos \varphi \quad (5)$$

(4) + (5) та враховуючи, що $i = i'$:

$$\begin{aligned} 2E_{\parallel}^i &= E_{\parallel}^d \left(\frac{\sin i}{\sin \varphi} + \frac{\cos \varphi}{\cos i} \right) = E_{\parallel}^d \left(\frac{\cos i \cdot \sin i + \cos \varphi \cdot \sin \varphi}{\sin \varphi \cdot \cos i} \right) \\ &= E_{\parallel}^d \left(\frac{\sin 2\varphi + \sin 2i}{2 \sin \varphi \cdot \cos i} \right) \end{aligned}$$

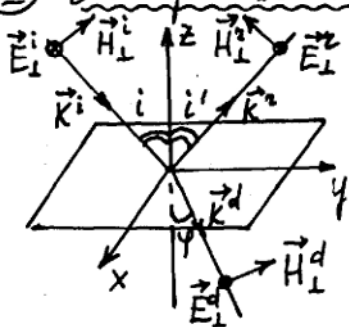
$$E_{\parallel}^d = \frac{2 \cos i \cdot \sin \varphi}{\sin(i+\varphi) \cdot \cos(i-\varphi)} \cdot E_{\parallel}^i$$

Перша формула Френеля

$$(4): (5) \Rightarrow \frac{E_{\parallel}^i + E_{\parallel}^r}{E_{\parallel}^i - E_{\parallel}^r} = \frac{\sin i \cdot \cos i}{\sin \varphi \cdot \cos \varphi} = \frac{\sin 2i}{\sin 2\varphi}$$

$$E_{\parallel}^r = \frac{\sin 2i - \sin 2\varphi}{\sin 2i + \sin 2\varphi} \cdot E_{\parallel}^i = \frac{\operatorname{tg}(i-\varphi)}{\operatorname{tg}(i+\varphi)} \cdot E_{\parallel}^i \quad \text{II формула Френеля}$$

II) Випадає "S" компоненти ($\vec{E} \perp$ пл. падіння)



Граничні умови:

$$\begin{cases} \vec{E}_{\perp}^i + \vec{E}_{\perp}^r = \vec{E}_{\perp}^d & (6) \\ -\vec{H}_{\perp}^i - \vec{H}_{\perp}^r = \vec{H}_{\perp}^d & (7) \end{cases}$$

$$\begin{cases} H_{\perp}^i = n_1 E_{\perp}^i; & H_{\perp}^r = n_1 E_{\perp}^r \\ H_{\perp}^d = n_2 E_{\perp}^d & (8) \end{cases}$$

$$(6) \Rightarrow \begin{cases} E_{\perp}^i + E_{\perp}^r = E_{\perp}^d & (9) \end{cases}$$

$$(7) \Rightarrow \begin{cases} n_1 \cdot \cos i \cdot E_{\perp}^i - n_1 \cdot \cos i' \cdot E_{\perp}^r = n_2 \cdot \cos \varphi \cdot E_{\perp}^d & (10) \end{cases}$$

(10) із врахуванням (8) та того, що $i' = i$:

$$n_1 \cdot E_{\perp}^i \cdot \cos i - n_1 \cdot E_{\perp}^r \cdot \cos i = n_2 \cdot E_{\perp}^d \cdot \cos \varphi$$

$$E_{\perp}^i - E_{\perp}^r = \frac{n_2}{n_1} \cdot \frac{\cos \varphi}{\cos i} \cdot E_{\perp}^d \equiv \frac{\sin i}{\sin \varphi} \cdot \frac{\cos \varphi}{\cos i} E_{\perp}^d \quad (11)$$

$$(9) + (11): \quad 2E_{\perp}^i = E_{\perp}^d \left(1 + \frac{\sin i \cdot \cos \varphi}{\sin \varphi \cdot \cos i} \right)$$

$$E_{\perp}^d = \frac{2 \sin \varphi \cdot \cos i}{\sin \varphi \cdot \cos i + \sin i \cdot \cos \varphi} E_{\perp}^i = \frac{2 \sin \varphi \cdot \cos i}{\sin(i + \varphi)} \cdot E_{\perp}^i \quad \text{III форма Френеля}$$

$$(6): (11) \Rightarrow \frac{E_{\perp}^i + E_{\perp}^r}{E_{\perp}^i - E_{\perp}^r} = \frac{\sin \varphi \cdot \cos i}{\sin i \cdot \cos \varphi}$$

$$E_{\perp}^r = - \frac{\sin(i - \varphi)}{\sin(i + \varphi)} \cdot E_{\perp}^i \quad \text{IV формула Френеля}$$

Аналіз формул Френеля

1. Формули Фр. мають отрицателі для амплітуд. Для енергетичного опису явищ на границі поділу (по інтенс.) вводять коеф. відбиття (R) та коеф. пропускання (T):

$$R = \left(\frac{E_{\perp}^r}{E_{\perp}^i} \right)^2; \quad T = \frac{n_2}{n_1} \left(\frac{E_{\perp}^d}{E_{\perp}^i} \right)^2$$

2. Якщо $E_{\perp}^r \neq E_{\parallel}^r$, то світло (частково) поляризоване.

Для природного світла ($E_{\perp}^i = E_{\parallel}^i$) $\left| \frac{E_{\perp}^r}{E_{\parallel}^r} \right| = \frac{\cos(i - \varphi)}{\cos(i + \varphi)} > 1 \Rightarrow E_{\perp}^r > E_{\parallel}^r$

З II та IV формул Френеля витікає: відбите світло - частково поляризоване з переважно напрямленим вектором поляризації в „S” компоненті.

3. Якщо $E_{\perp}^i = E_{\parallel}^i$, то світло природне.
 В природному світлі $Y_{\perp}^i = Y_{\parallel}^i = \frac{1}{2} Y_0$

4. Ступінь поляризації: $\rho = \frac{Y_{\perp} - Y_{\parallel}}{Y_{\perp} + Y_{\parallel}}$

5. Якщо $i + \varphi = \frac{\pi}{2}$, то з (II): $\text{tg } \frac{\pi}{2} \rightarrow \infty \Rightarrow E_{\parallel}^z = 0 \Rightarrow$ після відбиття світло повністю поляризоване!
 Кут падіння (i), для якого виконується умова $i + \varphi = \frac{\pi}{2}$, наз. кутом Брюстера (i_B).

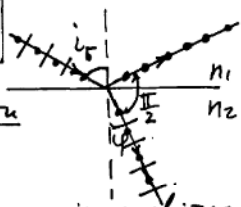
Для $n_2 > n_1 \Rightarrow i_{B-1}$
 ~~i_{B-1}~~ - не існує!
 Для $n_2 < n_1 \Rightarrow i_{B-2}$
 $i_{KP} > i_{B-2}$
 $i_{B-1} > i_{B-2}$

наз. кут Брюстера (i_B). з іншого боку

$$\frac{\sin i}{\sin \varphi} = \frac{\sin i_B}{\sin(\frac{\pi}{2} - i_B)} = \frac{\sin i_B}{\cos i_B} = \text{tg } i_B \stackrel{!}{=} \frac{n_2}{n_1}$$

$$i_B = \arctg \frac{n_2}{n_1}$$

Для i_B відбитий та заломлений куті ортогональні



Для переходу повітря-скло ($n=1.5$) кут $i_B \approx 57^\circ$

6. Для нормального падіння світла на границю по-ділу двох середовищ $i = i' = 0$. Кут $\varphi = 0$ також.

$$E_{\perp}^z = E_{\parallel}^z = -\frac{n_1 - n_2}{n_1 + n_2} E^i$$

7. Якщо $i \rightarrow \frac{\pi}{2}$, то $(E_{\perp}^z \text{ та } E_{\parallel}^z) \rightarrow E_{\perp}^i \text{ та } E_{\parallel}^i$.

8. За допомогою формул Френеля можна порахувати R та T .

$$R_{\perp} = \left(\frac{E_{\perp}^z}{E^i}\right)^2 = \frac{\sin^2(i - \varphi)}{\sin^2(i + \varphi)} \quad \text{Коеф. відбиття для } s^{\text{а}} \text{ компоненти}$$

$$R_{\parallel} = \left(\frac{E_{\parallel}^z}{E^i}\right)^2 = \frac{\text{tg}^2(i - \varphi)}{\text{tg}^2(i + \varphi)} \quad \text{Коеф. відбиття для } p^{\text{а}} \text{ компоненти світла}$$

$$T_{\perp} = \frac{n_2}{n_1} \left(\frac{E_{\perp}^d}{E^i}\right)^2; \quad T_{\parallel} = \frac{n_2}{n_1} \left(\frac{E_{\parallel}^d}{E^i}\right)^2 \quad \text{Коеф. пропускання для } s^{\text{а}} \text{ та } p^{\text{а}} \text{ компонент}$$

Для природного світла:

$$R = \frac{(E_{\perp}^2)^2 + (E_{\parallel}^2)^2}{(E_{\perp}^2)^2 + (E_{\parallel}^2)^2} \stackrel{E_{\perp} = E_{\parallel}}{\uparrow} \dots = \frac{1}{2} (R_{\perp} + R_{\parallel}) = R$$

10. Можна ввести кут $\alpha_i = \arctg \left(\frac{E_{\perp}^i}{E_{\parallel}^i} \right)$

$$\operatorname{tg} \alpha_i = \frac{E_{\perp}^i}{E_{\parallel}^i} \quad \text{де } \alpha_i \text{ - азимут падаючого світла}$$

$\alpha_i = 0$: $\vec{E} \parallel$ пл. нагіння $\Rightarrow E_{\perp} = 0 \Rightarrow$ існує лише s -компонента

$\alpha_i = \frac{\pi}{2}$: $\vec{E} \perp$ пл. нагіння $\Rightarrow E_{\parallel} = 0 \Rightarrow$ існує лише p -компонента

$$\alpha_i = \frac{\pi}{4}: E_{\perp} = E_{\parallel}$$

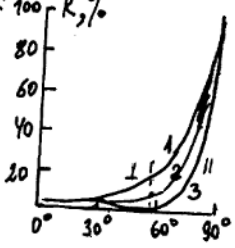
Фрими, Таморова ... с. 144

При відбитті лінійно поляризованого світла з азимутом $\alpha_i \neq 0$ відбувається поворот вектора поляризації:

Азимут змінюється! При куті нагіння, наприклад, $i = 30^\circ$ і азимуті $\alpha_i = 45^\circ$ існує поворот \vec{E} на 12° .

11. Графік залежності R від i : 100% R_{\perp} , %

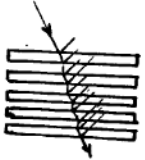
- 1 - "s" компонента (R_{\perp})
- 2 - природне світло
- 3 - "p" компонента (R_{\parallel})



На всій кривій виконується

$$R_{\perp} + R_{\parallel} = 2R$$

12. Стіна Столетова

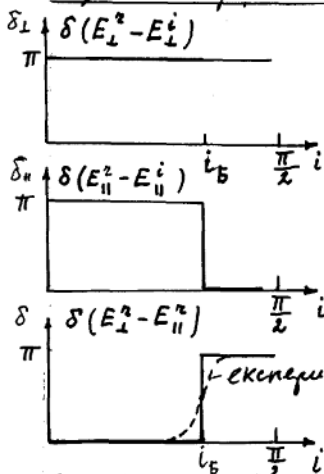


На стіну падає природне світло.
 із стіни виходить частково поляризоване світло.
 Ідеальний поляризатор ($p = 100\%$) при $n = \infty$. Для $n = 8-10$: $p \sim 44\%$
 n - кількість пластин в стіні.

Наприклад:

- 1+2 = 2.1.5
- 2+4 = 2.3
- 4+6 = 2.5

Фазові співвідношення у відбитому та заломленому світлі



$n_1 < n_2 \Rightarrow i > \varphi$ світлі
 Знак $-$, наприклад, в IV формулі Френеля каже про зсув між фазами падаючої та відбитої хвилі на π

Експерим. - див. Білія... с. 230

Відбивання світла від середовища менш оптичного

$n_2 < n_1 \Rightarrow i < \varphi$

Вже розглядали ефект ПБВ з i_{KP} та ефект Брюстера з i_B

$\sin i_{KP} = n_{21}$

Для скла - повітря:

$\sin i_{KP} = \frac{1}{1.5} = 0.6667$

$i_{KP} = 42^\circ$

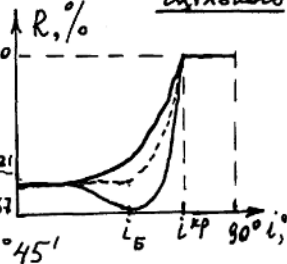
(1) $tg \frac{\delta_{\parallel} - \delta_{\perp}}{2} = \frac{\cos i \sqrt{\sin^2 i - n_{21}^2}}{\sin^2 i}$

Позначення:

$\delta_{\parallel} = \delta(E_{\parallel}^r - E_{\parallel}^i)$; $\delta_{\perp} = \delta(E_{\perp}^r - E_{\perp}^i)$; $\delta_{\parallel} - \delta_{\perp} = \delta$

Продиференц. (1) по i та упріємо $\frac{\partial}{\partial i} (tg \frac{\delta}{2}) = 0$

\Rightarrow одержимо умову виникнення так різниці фаз:



$tg i_B = n_{21}$

$n_{21} = 0.6667$

$i_B = 33^\circ 45'$

(1) із того, що ввели позначення:

$\frac{E_{\parallel}^r}{E_{\parallel}^i} = e^{i\delta_{\parallel}}$;

$\frac{E_{\perp}^r}{E_{\perp}^i} = e^{i\delta_{\perp}}$

$$\cos i_{\max} = \sqrt{\frac{1-n_{21}^2}{1+n_{21}^2}} \quad \text{або} \quad \sin i_{\max} = \sqrt{\frac{2n_{21}^2}{1+n_{21}^2}} \quad (2)$$

$$(2) \rightarrow (1): \quad \boxed{\operatorname{tg} \frac{\delta_{\max}}{2} = \frac{1-n_{21}^2}{2n_{21}}} \quad (3)$$

Формула (2) - для знаходження i_{\max} по n_{21} ;

формула (3) - для знаходження δ_{\max} по n_{21} .

Чим більша різниця в показниках заломлення (чим менше їх відношення $n_{21} = n_2/n_1$), тим більше різниця фаз між двома коливаннями ($\delta = \delta_{\parallel} - \delta_{\perp}$).

Для отримання циркулярної поляризації, для якої

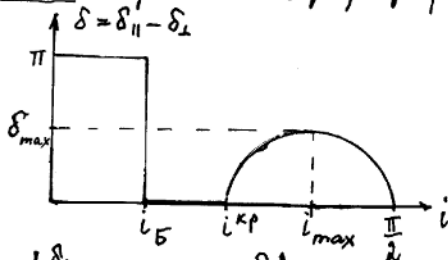
потрібно, щоб $\delta_{\max} = \pi/2$ і $\operatorname{tg} \frac{\delta_{\max}}{2} = 1$, різниця в π повинна бути дуже великою. З умови

$(1-n_{21}^2)/2n_{21} = 1$ знаходимо, що $n_{21} \approx 0.4$. Це досягається лише для алмаза (в сф. діалмазі):

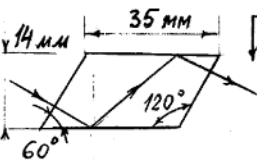
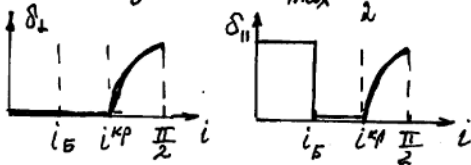
$$n_1 = 2.4; \quad n_2 = 1.0 \Rightarrow 1/2.4 \approx 0.4$$

Для фракції скло-повітря $i_{\max} \approx 51^\circ$ (із (2)) і

при однократному проходженні світла через межю ніяк отримати циркулярну поляризацію не можна.



Величина $\delta = \delta_{\parallel} - \delta_{\perp}$ обертається в нуль двічі:
 1) при $i_B < i < i_{KP}$
 2) при $i = \frac{\pi}{2}$ (сходження напрямків світла)



срс: призма Френеля
 Ландсберг... с. 486
 Калитевский...
 с. 34